

IV-74 供試体の端部摩擦の破壊に及ぼす影響について

京都大学工学部 正員 丹羽 義次

〃 〃 〇小林 贈一

1. 稼がさ

コンクリート、モルタル、岩石など、いわゆる脆性材料の圧縮強度は供試体の寸法、形状および端面状態によって異なるといわれている。しかし今から圧縮強度は材料特性と考えられ、試験方法には無関係なものであるべきであらう。数多くの実験から知られていくように、圧縮供試体内部の応力分布あるいは歪分布は、供試体端面と載荷盤面の摩擦、荷重の不均一分布および供試体の寸法と形状に依存する。従って、圧縮強度を材料特性として求めるためには、K. Newman も指摘しているように、端部摩擦の影響を求めるか、端面摩擦を完全にするかあるいは一様圧縮領域が生じるような試験方法に依らかである。端部摩擦が破壊強度および破壊の形に及ぼす影響について、いくつか議論されつつあるが、定量的に求めることは困難である。ここでは、破壊を考える一つの目安として、供試体を完全弾性体と仮定し、圧縮時に及ぶ供試体内部の応力分布の解析を試みた。

2. 供試体内の応力分布の近似解

供試体は完全線形弾性体と仮定し、平面応力状態にあるものとする。(平面直角座標の解は、弾性係数 E 、poisson 比 ν を一般化した弾性係数 $E_0 = \frac{E}{1-\nu^2}$ 、poisson 比 $\nu_0 = \frac{\nu}{1-\nu}$ に置き換えることにより求められる) 今圖のように x 軸を対称軸として、供試体 E にそれと垂直の異なる材料 2 を介して材料 3 に加わ、外力 P が作用するものとする。境界辺 BC 、 EF での材料は連続結合されている。荷重 P が作用すると各材料は側方に変形するであろうが、変形を許さない A 側面から拘束されると仮定すると、矩形板には

$$\sigma_{x,i} = \nu_i \gamma_i^0, \quad (i=1, 2, 3) \quad (1)$$

なる応力が生じる。ここで γ_i^0 は P に対する生じる i 方向応力成分であり、板厚を d とすると $\gamma_i^0 = \frac{P}{2d}$ で計算される。 $\sigma_{x,i}$ は i 材料の x 方向応力成分である。(かならず $x = \pm 1$ 上には正方向の拘束はないから、 x 方向の応力は零である) この条件を満足するためには

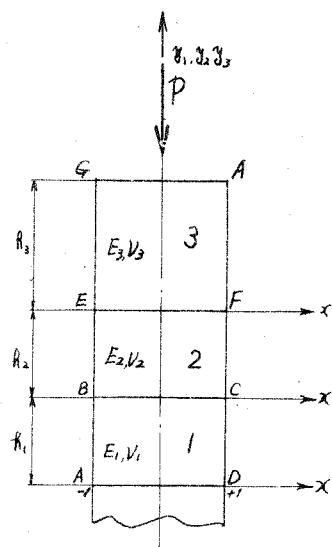
$$\sigma_{x,i}^* = -\sigma_{x,i} \quad (2)$$

なる附加外力を、 $x = \pm 1$ 工上に加えなければならぬ。この外力をよって生じた附加応力を $\sigma_{x,i}^*$ で表わすと、求めらるべき応力成分は

$$\sigma_{xi} = \sigma_{xi}^0 + \sigma_{xi}^*, \quad \gamma_i = \gamma_{xi}^0 + \gamma_{xi}^*, \quad \sigma_{xy} = \sigma_{xy}^0 + \sigma_{xy}^* \quad (3)$$

で表わされる。

附加応力を求めるために、応力函数を



$$\Psi_i(x, y_i) = g_{n,i}(x, y_i) + \int_a^x f_n(x) g_{n,i}(y_i), \quad (4)$$

ここで、 $g_{n,i}(x, y_i)$ は応力の境界条件を満足するように取り、また $f_n(x) \equiv 1$ とす

$$f_n(\pm 1) = f'_n(\pm 1) = 0 \quad (5)$$

を満足する正規直交多項式を用いると便利である。こうすると、ここで未知函数は $g_{n,i}(y_i)$ で与えられ、complementary energy 最小の原理を適用し、 $f_n(x)$ の直交性を利用して Euler の方程式を立て

$$\begin{aligned} g''_{n,i}(y_i) - 2 \langle f_n, f'_n \rangle g'''_{n,i}(y_i) + \langle f_n'', f_n' \rangle g''_{n,i}(y_i) \\ = - \int_a^b \partial^2 g_{n,i}(x, y_i) \cdot f_n(x) dx \end{aligned} \quad (6)$$

を得る。ここで $\langle f_n^{(k)}, f_n^{(l)} \rangle = \int_a^b f_n^{(k)}(x) f_n^{(l)}(x) dx$ を表わす。

式(6)とつきの境界条件の下に解く $g_{n,i}(y_i)$ が求められ、従って式(4)、更に

$$v_{x,i}^* = \frac{\partial^2 \Psi_i}{\partial x^2}, \quad v_{y,i}^* = \frac{\partial^2 \Psi_i}{\partial x^2}, \quad \epsilon_{xy,i}^* = -\frac{\partial^2 \Psi_i}{\partial x \partial y},$$

から附加応力成分が定められる。

境界条件と(1)での、 $x = \pm 1$ 上での条件は既に(6)より満足されていて残るのは材料の境界での応力および変位の連続条件だけである。

$$\left. \begin{array}{ll} \text{if } y_1 = h_1, \quad y_2 = 0 & v_{y,i}^* = v_{y,2}^*, \quad \epsilon_{xy,i}^* = \epsilon_{xy,2}^* \\ & u_i^* = u_2^*, \quad v_i^* = v_2^*, \\ \text{if } y_2 = h_2, \quad y_1 = 0 & v_{y,i}^* = v_{y,3}^*, \quad \epsilon_{xy,i}^* = \epsilon_{xy,3}^* \\ & u_i^* = u_3^*, \quad v_i^* = v_3^*, \end{array} \right\} \quad (7)$$

$$\text{すなはち } g_{n,i}(y_i) = g_{n,i}(-y_i).$$

ここで u_i^*, v_i^* は x および y_i 方向の変位成分であり、 \rightarrow きのようく表わせろ。

$$\left. \begin{array}{l} E_i u_i^* = p_{x,i}^* x + \int_a^x \{ f_n(x) g_{n,i}(y_i) - V_i f_n(x) g_{n,i}'(y_i) \} + \text{剛体変位}, \\ E_i v_i^* = \int_a^x \{ f_n''(x) g_{n,i}(y_i) - V_i f_n(x) g_{n,i}'(y_i) \} + \text{剛体変位}. \end{array} \right\} \quad (8)$$

$$\therefore K \quad f_n(x) = \int_a^x f_n(x) dx, \quad g_{n,i}(y_i) = \int_a^{y_i} g_{n,i}(y_i) dy_i.$$

式(7)の応力条件より簡単に求められるから

$$g_{n,i}'(h_1) = g_{n,i}''(0), \quad g_{n,i}''(h_1) = g_{n,i}'''(0) \quad (9)$$

が求められる。式(8)と式(9)の変位式から今もよろしく、 $\frac{V_1}{E_1} = \frac{V_2}{E_2}$ であれば附加応力は生じないことがわかる。従って、この場合 h_1 が或程度大きい ($h_1 \geq 2$) と、供試体 I 内の応力分布は一様正縮と考えられる。

本解析結果、および光薄椎実験による応力分布の比較、また毛羽 W 構造体による頭部拘束の実験結果はまだ発表の予定である。

文献

- 1) K. Newman & L. Lachance, "The Tearing of Brittle Materials under Uniform Uniaxial Compressive Stress", Proc. ASTM, 1965, pp. 1044~1067.
- 2) G. Horvay & J. Born, "Tables of Self-Equilibrating Functions", J. of Math. & Phys., Vol. 33 (1954), pp. 360~373.